

АКАДЕМИЯ НАУК СССР

117384
Stockel
NEBRASKA

ФИЗИКА ПЛАЗМЫ

Том 14

(ОТДЕЛЬНЫЙ ОТТИСК)

4

МОСКВА · 1988

УДК 533.9.07

**ЭКСПЕРИМЕНТЫ ПО ГЕНЕРАЦИИ ТОРОИДАЛЬНОГО ТОКА
НИЖНЕГИБРИДНЫМИ ВОЛНАМИ НА ТОКАМАКЕ КАСТОР**

БАДАЛЕЦ Я.*, ВАЛОВИЧ М.*, ДЯТЛОВ И.*, ЖАЧЕК Ф.*,
КОПЕЦКИ В.*, КЭРБЕЛ Ш.*, КРИШКА Л.*, МАГУЛА П.*,
НАНОБАШВИЛИ С. И., ПРЕИНГАЕЛЬТЕР Й.*, ШТЕКЛ Я.*, ЯКУБКА К.*

Введение

В связи с проработкой эскизного проекта термоядерного реактора на основе токамака большое значение приобретает поиск методов поддержания стационарного тока в тороидальных установках.

Возможность генерации тока в тороидальной плазме с помощью ВЧ-волны была показана еще в начале 50-х годов [1], однако теоретические и экспериментальные исследования в этом направлении наиболее активно ведутся в последние годы [2–5]. Как следует из этих работ, для генерации тока ВЧ-волнами наиболее благоприятным является диапазон нижнегибридных волн. Поскольку для генерации тока используется механизм затухания Ландау на электронах, очевидно, необходимо направленно возбуждать вдоль оси тора в плазме замедленные НГ-волны.

В таких условиях на ряде токамаков в последнее время проведены успешные эксперименты по генерации тока НГ-волнами [6–14]. В этих работах для направленного возбуждения замедленных НГ-волн используют ВЧ-системы (антенны), состоящие из ряда сформированных волноводов, так называемые «гриллы» [15]. Сдвиг фазы между волноводами грилла задается обычно фазовращателями,ключенными в каналы грилла, или электрическим способом [11].

В недавно появившейся работе [16] для НГ-нагрева плазмы в токамаке используется сравнительно простой грилл нового типа — «многоступенчатый грилл».

В настоящей работе приводятся результаты экспериментов по генерации тока НГ-волнами с использованием подобного многоступенчатого грилла на токамаке КАСТОР Института физики плазмы Чехословацкой АН.

Постановка эксперимента

Токамак КАСТОР — это модернизированный токамак ТМ-1-ВЧ. Основные направления исследования на этом токамаке — изучение взаимодействия и нагрева плазмы с помощью НГ-волн, а также изучение пристеночной плазмы.

При модернизации токамака электротехническая схема и ее параметры остались практически неизменными. С сохранением прежних геометрических размеров был полностью заменен лайннер. Если предыдущий лайннер не позволял ввести в него современные антенные устройства для возбуждения НГ-волн и к тому же имел ограниченное количество диагностических патрубков, то новый лайннер сделан с учетом всех этих обстоятельств. Он имеет несколько патрубков большого сечения для ввода ВЧ-

* Институт физики плазмы АН ЧССР.

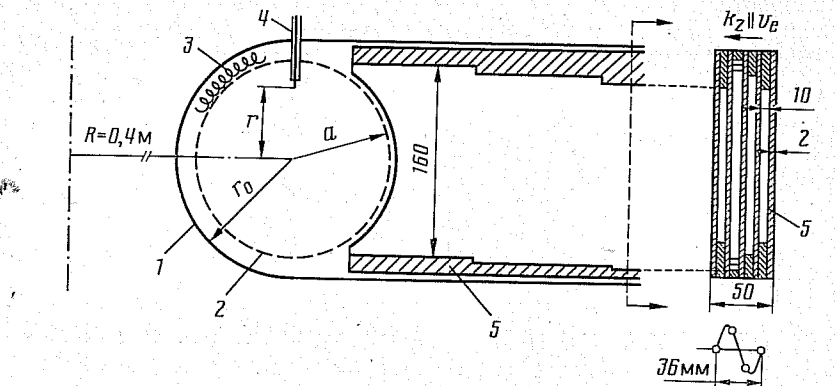


Рис. 1. Схема экспериментальной установки: 1 — лайнер, 2 — диафрагма, 3 — пояс Роговского, 4 — подвижный ленгмюровский зонд, 5 — многоступенчатый грилл

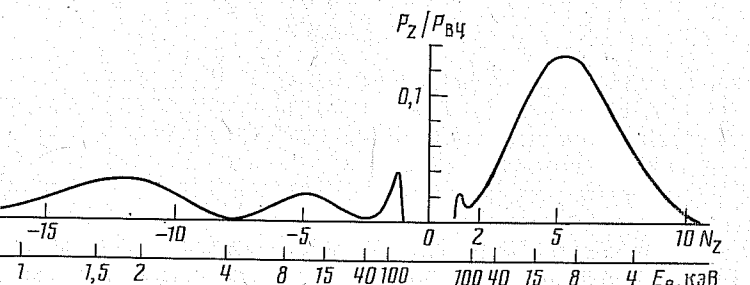


Рис. 2. Спектры волн, излучаемых гриллом

антенных устройств и большое количество диагностических патрубков. Кожух остался прежним, но он уже не вакуумный.

Токамак КАСТОР — это небольшой токамак с большим радиусом $R=40$ см, малым радиусом камеры $r_0=10$ см, радиусом диафрагмы $a=8.5$ см (рис. 1). Кроме того, имеются две подвижные серповидные диафрагмы. Эксперименты проводятся с водородной плазмой при давлении ~ 10 мПа. В данной серии экспериментов не использовался импульсный напуск газа. Тороидальное магнитное поле $B_t \leq 2$ Тл, ток плазмы $I_p \leq 30$ кА. В стандартном индукционном разряде для облегчения пробоя осуществляется предионизация газа с помощью электронной пушки. Длительность омического разряда $t \approx 9$ мс. ВЧ-мощность вводится в плазму в различных стадиях развития разряда.

В качестве источника ВЧ-мощности на токамаке КАСТОР используется магнетрон мощностью 40 кВт на частоте $\omega_0/2\pi=1.25$ ГГц с длительностью импульса $\tau_{B\text{Ч}} \leq 30$ мс. ВЧ-энергия подводится к токамаку с помощью волноводного тракта, содержащего ферритовую развязку, аттенюатор, направленные ответвители и тefлоновую вакуумную развязку. Вакуумная развязка удалена от токамака на расстояние 1 м. Сразу за ней начинается многоступенчатый грилл. Основной волновод с помощью металлических перегородок делится на четыре идентичных волновода, т. е. мы имеем четырехволноводный грилл. На входе грилла размеры волноводов одинаковые. Затем с помощью согласующих трансформаторов в каждом волноводе делается переход на такие размеры широкой стенки волновода, которые обеспечивают желаемые сдвиги фаз между волноводами и направление распространения волн. Очевидно, что сдвиги фаз между волноводами фиксированы. В нашем случае размеры подобраны так, что сдвиги фаз составляют 120° . На выходе грилла вновь с помощью согласующих трансформаторов размеры всех волноводов делаются одинаковыми, равными 1.0×16.0 см². Расстояние между осями волноводов равно 1,2 см. Таким образом, на срезе грилла формируется полная длина

волны, равная 36 мм, в то время как вакуумная длина волны накачки 240 мм. Отсюда можно оценить коэффициент замедления, равный $N_z \approx 6.7$. В наших экспериментах при максимальной вводимой в плазму ВЧ-мощности, равной 40 кВт, плотность мощности на раскрытие грилла составляла 0.5 кВт·см⁻². При этом пробоя в системе ввода не наблюдалось. Необходимо отметить также, что перед началом экспериментов производилась тренировка грилла серией импульсов.

Спектры волн, излучаемых гриллом, рассчитанные для градиента концентрации у грилла $2 \cdot 10^{20}$ м⁻⁴ и абсолютного значения концентрации $3 \cdot 10^{18}$ м⁻³, приведены на рис. 2. Как видно, спектр несимметричен по направлению. Имеются основная мода с довольно узким спектром и с одним максимумом при $N_z \approx 5.5$ (эквивалентная энергия электронов $E_e \approx 8.5$ кэВ) и «паразитная» мода, которая распространяется в противоположную сторону и имеет довольно широкий спектр с несколькими максимумами. Из расчетов следует, что 30% подводимой мощности отражается от грилла, 50% переносится основной модой и 20% «паразитной» модой. Грилл так ориентирован в горизонтальном патрубке токамака, что основная мода излучения волн была направлена в сторону токового движения электронов в омическом разряде.

В ходе экспериментов обычными стандартными методами определялись напряжение и ток разряда и положение плазменного шнура по большому радиусу тока. Кроме того, ток плазмы можно было определить с помощью пояса Роговского, расположенного внутри лайнера в тени диафрагмы. Концентрация плазмы измерялась 4-мм СВЧ-интерферометром, зондирующим плазменный шнур по диаметру.

Жесткое рентгеновское излучение плазмы с энергией квантов ≥ 200 кэВ регистрировалось сцинтиллятором NaI, который был ориентирован на область диафрагмы.

Регистрация циклотронного излучения плазмы осуществлялась полупроводниковым детектором на частоте 36 ГГц. Антenna принимала волны с поляризацией, соответствующей необыкновенной волне. Необходимо отметить, что в условиях наших экспериментов практически нет различия между сигналами различной поляризации.

Кроме рентгеновского и циклотронного излучения в наших экспериментах проводилась регистрация линий излучения водорода и примесей (углерода и кислорода).

Подвижный ленгмюровский зонд дал нам возможность провести по диаметру плазмы локальные измерения концентрации и температуры электронов. В период увлечения тока НГ-волнами удавалось проникнуть зондом в плазменный шнур на расстояние $r \approx a/2$ без заметных искажений характеристик разряда.

Результаты экспериментов и обсуждение

Эксперименты по генерации тока НГ-волнами проводились при торoidalном магнитном поле $B_t = 1.3$ Тл в индукционном разряде сравнительно низкой плотности $n_e = (2-8) \cdot 10^{18}$ м⁻³. При этом условие для генерации тока $\omega_0 > 2\omega_{LH}$, связанное с нижним гибридным резонансом и параметрическими эффектами [17, 18], выполняется с запасом.

В экспериментах ВЧ-мощность подавалась в разрядную камеру в различные моменты развития омического разряда в токамаке.

1. Результаты, касающиеся генерации тока в стационарной фазе омического разряда при $\tau_{B\text{Ч}} < \tau$, даны на рис. 3. ВЧ-импульс длительностью $\tau_{B\text{Ч}} = 2$ мс вводился в камеру через 4 мс после начала омического разряда, когда параметры плазмы вышли уже на стационарный уровень. На рис. 3 представлен временной ход параметров плазмы с ВЧ-импульсом (сплошные кривые) и без него (пунктирные кривые). Как видно из этого рисунка, подача ВЧ-импульса приводит к значительной «подсадке» напряжения обхода, в то время как ток плазмы практически остается неизменным. Это понятно, так как токамак КАСТОР, как и все современные

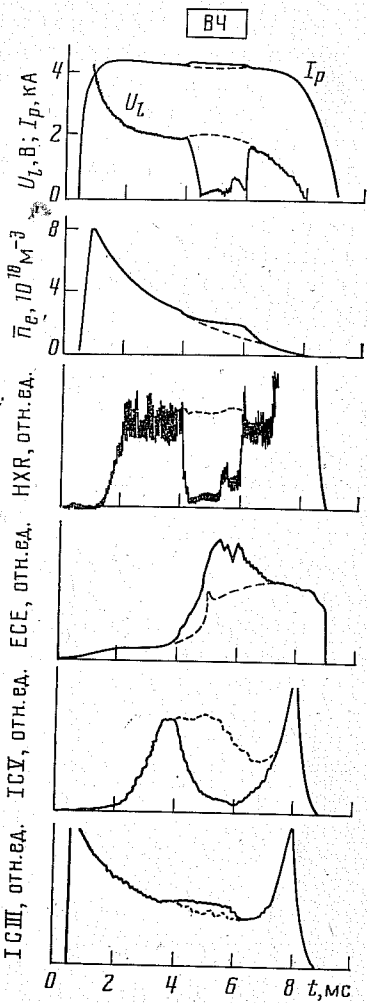


Рис. 3. Временной ход параметров плазмы при $\tau_{\text{вч}} < \tau$, $U_{lc} = 1 \text{ кВ}$, $P_{\text{вч}} = 40 \text{ кВт}$; сплошные кривые — при включенном, штриховые — при отключенном ВЧ-генераторе

токамака, работает в режиме стабилизации тока в цепи первичной обмотки трансформатора вихревого поля. По этой причине в омическом режиме разряда о генерации тока судят по уменьшению напряжения обхода. При произвольной подсадке напряжения ток увлечения можно определить по формуле

$$I_{\text{вч}} = I_p - \frac{\Delta U_i}{U_i}, \quad (1)$$

где U_i — напряжение обхода в отсутствие ВЧ-мощности.

Эксперименты показали, что как величина ВЧ-тока, так и скорость его нарастания зависят от вводимой ВЧ-мощности и концентрации плазмы. Концентрацию плазмы можно было менять путем изменения напряжения на батарее вихревого поля (U_{lc}). Зависимости величины ВЧ-тока ($I_{\text{вч}}$), скорости его нарастания ($\Delta I_{\text{вч}}/\Delta t$) и усредненной по диаметру концентрации плазмы \bar{n}_e от U_{lc} при подводимой к плазме ВЧ-мощности $P_{\text{вч}} = 40 \text{ кВт}$ представлены на рис. 4. Видно, что генерируемый ВЧ-ток достигает максимума при $U_{lc} = 2 \text{ кВ}$ и при дальнейшем повышении напряжения падает. При этом эффективность увлечения тока достигает величины $0,5 \text{ A}\cdot\text{Вт}^{-1}$. Что касается скорости нарастания ВЧ-тока, то она довольно высокая $\sim 1,5 \cdot 10^7 \text{ A}\cdot\text{с}^{-1}$ и с повышением напряжения U_{lc} монотонно падает. Падение ВЧ-тока и скорости его нарастания при увеличении U_{lc} можно связать с увеличением концентрации плазмы. Действительно, как предсказывает теория, величину генерируемого ВЧ-тока можно определить из соотношения

$$I_{\text{вч}}(\text{kA}) = 0,1\eta T_e(\text{кэВ}) P_{\text{вч}}(\text{кВт}) / R(\text{м}) n_e(10^{13} \text{ см}^{-3}), \quad (2)$$

где $P_{\text{вч}}$ — вводимая ВЧ-мощность, n_e — плотность плазмы, R — большой радиус тора, а коэффициент $\eta = 2-10$ в зависимости от вида спектра возбуждаемых волн [13].

Из наших экспериментальных данных, приведенных на рис. 4, следует, что при $U_{lc} > 2 \text{ кВ}$ в соответствии с теорией $I_{\text{вч}} \sim 1/n$. При этом абсолютное значение генерируемого ВЧ-тока, рассчитанное по формуле (2) для наших условий, также хорошо согласуется с экспериментальными данными.

Что касается увеличения $I_{\text{вч}}$ с повышением плотности плазмы при $U_{lc} < 2 \text{ кВ}$, т. е. обратной зависимости по сравнению с предсказаниями теории, то это явление, по-видимому, можно объяснить тем обстоятельством, что при довольно низкой плотности плазмы около грилла его связь с плазмой слабая и повышение плотности в этом диапазоне приводит к улучшению связи и увеличению генерируемого тока.

Обработка осциллограмм напряжения обхода дала возможность построить зависимость его относительного изменения ($\Delta U_i/U_i$) от инжектируемой ВЧ-мощности. Эта зависимость представлена на рис. 5. Как видно из этого рисунка, взаимодействие ВЧ-волны с плазмой имеет пороговый характер. При ВЧ-мощности $P_{\text{вч}} < 8 \text{ кВт}$ эффект увлечения тока полу-

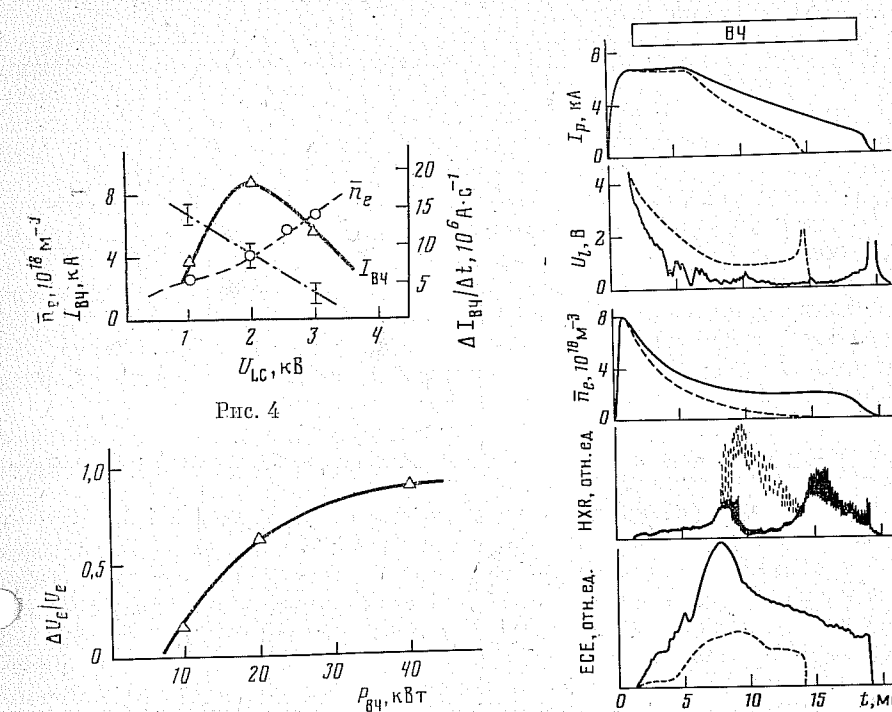


Рис. 4

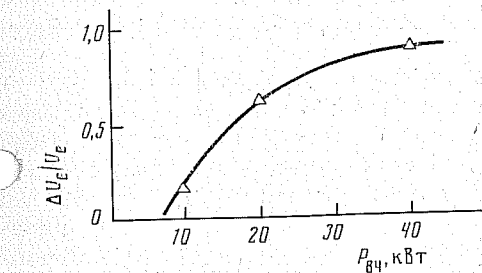


Рис. 5

Рис. 4. Зависимость средней по диаметру концентрации плазмы, тока увлечения и скорости нарастания тока увлечения от напряжения на батарее вихревого поля при $P_{\text{вч}} = 40 \text{ кВт}$

Рис. 5. Зависимость относительного изменения напряжения обхода от ВЧ-мощности при $U_{lc} = 1 \text{ кВ}$

Рис. 6. Временной ход параметров плазмы при $\tau_{\text{вч}} > \tau$, $U_{lc} = 1 \text{ кВ}$, $P_{\text{вч}} = 40 \text{ кВт}$; сплошные кривые — при включенном, штриховые — при отключенном ВЧ-генераторе

ностью пропадает, а при больших мощностях с увеличением мощности величина $\Delta U_i/U_i$ увеличивается и при $P_{\text{вч}} = 40 \text{ кВт}$ приближается к единице.

Поскольку мы работаем без импульсного напуска газа, то в течение омического разряда плотность плазмы монотонно падает и, как показали эксперименты, в этих условиях ввод ВЧ-мощности приводит к некоторому замедлению спада плотности в течение действия ВЧ-импульса (см. рис. 3). Сигналы магнитных зондов показывают, что в период ВЧ-инъекций плазменный шнур незначительно смещается по большому радиусу тора к наружной стенке.

Из рис. 3 видно, что интенсивность жесткого рентгеновского излучения (HXR) резко падает с вводом ВЧ-мощности в плазму и с уменьшением напряжения обхода. Одновременно начинает подрастать сигнал с детектора циклотронного излучения (ECE). Видно, что эти изменения значительные, но если характерное время уменьшения интенсивности рентгеновского излучения совпадает с характерным временем изменения напряжения обхода, то циклотронное излучение подрастает значительно медленнее. После окончания ВЧ-импульса снова резко увеличивается интенсивность HXR и значительно медленнее уменьшается интенсивность ECE.

Уменьшение интенсивности жесткого рентгеновского излучения указывает на то, что в период ВЧ-увлечения тока происходит уменьшение энергии убегающих электронов, торможение которых на диафрагме и стенках лайнера обеспечивает излучение и которые генерируются вследствие наличия напряжения обхода. В то же время увеличение интенсивности циклотронного излучения указывает на образование пучка быстрых электронов.

нов, которые должны быть ответственны за перенос ВЧ-тока в плазме. Действительно, как известно из квазилинейной теории, под действием ВЧ-волны на функции распределения электронов формируется плато, которое и определяет генерируемый ток. К тому же границы плато должны совпадать с границами спектра волн, т. е. в нашем случае оно должно быть вблизи 10 кэВ (см. рис. 2).

С другой стороны, из измерений в оптическом диапазоне спектра следует, что интенсивности линий примесей с высокими уровнями возбуждения, такие, как С V, O V и O IV в период ВЧ-увлечения тока уменьшаются, в то время как интенсивности линий с низкими уровнями возбуждения, такие, как С III, O III и O II, возрастают (см. рис. 3). Это дает возможность заключить, что происходит охлаждение основной части плазмы и температура понижается от исходной в омическом режиме разряда $T_e = 200 - 300$ эВ до T_e порядка 30-40 эВ.

К сожалению, имеющиеся пока экспериментальные данные не дают нам возможности более точных количественных расчетов энергии электронов в период НГ-увлечения тока.

2. Результаты, касающиеся инъекции длинных ВЧ-импульсов ($\tau_{\text{ВЧ}} > \tau$) в стационарной фазе омического разряда, представлены на рис. 6. В этом случае в схеме питания первичной обмотки трансформатора вихревого поля введена диодная закоротка, которая приводит к затягиванию тока до ~ 14 мс (пунктирная кривая), тогда как без диода $\tau = 9$ мс. ВЧ-импульс длительностью 17 мс вводится в плазму через 2 мс после начала омического разряда, когда ток плазмы достигает уже своего максимального значения. И в этом случае в стационарной фазе до $t \approx 6$ мс ток плазмы практически не меняется, но напряжение обхода с вводом ВЧ-мощности начинает быстро падать и приближается к нулю. При $t > 6$ мс, если без ВЧ-импульса ток плазмы сравнительно быстро падает, с ВЧ-импульсом падение тока значительно замедляется и ток поддерживается в течение действия всего ВЧ-импульса. В этой стадии напряжение обхода $U_i = 0$, и это указывает на то, что весь ток переносится ВЧ-волной.

Как видно из рис. 6, ввод ВЧ-мощности приводит к значительному замедлению спада концентрации плазмы, и на поздней стадии (при $t > 10$ мс), когда ток уже полностью переносится ВЧ-вольной, концентрация практически остается постоянной при значении $\bar{n}_e \approx 2 \cdot 10^{18} \text{ м}^{-3}$.

Что касается жесткого рентгеновского излучения и излучения на циклотронной частоте, то их изменение хорошо коррелирует с изменением напряжения и тока плазмы. Как видно из рис. 6, интенсивность HXR в начальный период омического разряда низкая, при $t \approx 8$ мс резко увеличивается и затем при $t > 10$ мс начинает падать. Инъекция ВЧ-мощности, несмотря на резкое уменьшение U_i , не приводит к заметному изменению интенсивности HXR в начальный период разряда, но на более поздней стадии происходит его сильное подавление. В конце разряда, когда ВЧ-ток сильно падает, ухудшается удержание, плазма начинает разваливаться и интенсивность HXR увеличивается. В отличие от HXR интенсивность ECE с инъекцией ВЧ-мощности сразу начинает подрастать. Как по величине, так и по скорости нарастания она в несколько раз больше по сравнению с омическим режимом разряда. При $t = 8$ мс интенсивность ECE достигает максимального значения и потом начинает падать. Скорость ее падения хорошо коррелируется со скоростью падения ВЧ-тока, а с окончанием ВЧ-импульса происходит обрыв сигнала до нулевого значения.

Кроме того, в период ВЧ-увлечения тока интенсивности линий примесей с высокими уровнями возбуждения (С V, O V и O IV) сильно падают, а линии с низкими уровнями возбуждения (С III, O III и O II) повышаются, что свидетельствует об охлаждении основной части плазмы.

3. Временной ход параметров плазмы при инъекции ВЧ-мощности в распадающуюся плазму токамака после закорачивания первичной обмотки трансформатора вихревого поля тиристором уже в начальной фазе разогрева омического разряда представлен на рис. 7. Закорачивание происходит через $t = 0,75$ мс после начала разряда (указано стрелкой на рис. 7). Видно, что после этого ток начинает сразу падать и напряжение обхода

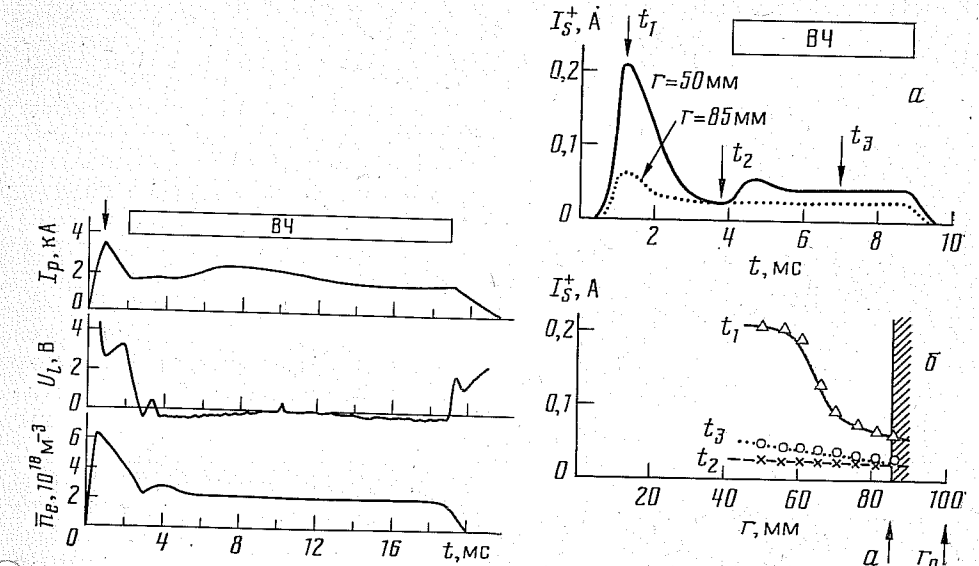


Рис. 7

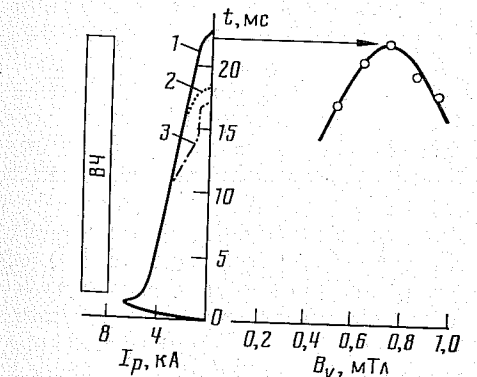


Рис. 9

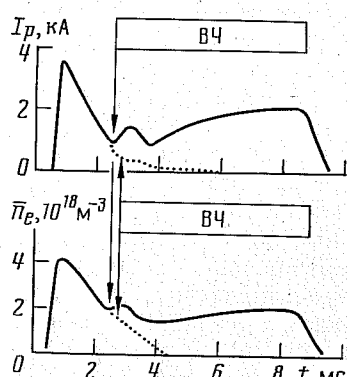


Рис. 10

Рис. 7. Временной ход параметров распадающейся плазмы при $P_{\text{ВЧ}} = 40$ кВт

Рис. 8. Зависимость ионного тока насыщения в распадающейся плазме при $P_{\text{ВЧ}} = 40$ кВт: а — от времени на различных радиусах плазмы, б — от радиуса плазмы в различные моменты времени

Рис. 9. Зависимость эффекта увлечения тока от вертикального магнитного поля компенсации

Рис. 10. Зависимость эффекта увлечения тока от концентрации плазмы

подскакивает. Если не вводить ВЧ-мощность, то разряд оканчивается приблизительно на 3-й мс. В нашем случае ввод ВЧ-импульса длительностью $\tau_{\text{ВЧ}} = 17$ мс осуществляется через 2 мс после начала разряда, и сразу ток плазмы прекращает уменьшаться и поддерживается ВЧ-вольной до конца импульса. До $t = 8$ мс происходит некоторое увеличение тока увлечения, но потом оно сменяется легким падением. Падение тока можно связать с тем обстоятельством, что ВЧ-мощность в течение импульса падает почти до 50%. В период ВЧ-увлечения тока напряжение обхода даже слегка отрицательно, а концентрация плазмы держится на уровне $n_e \approx 2 \cdot 10^{18} \text{ м}^{-3}$.

Что касается интенсивности жесткого рентгеновского и циклотронного излучения и линий примесей, то они ведут себя таким же образом, как и в предыдущих случаях, т. е. в период ВЧ-увлечения тока интенсивность HXR падает, а ECE увеличивается. Кроме того, интенсивности линий примесей с высокими уровнями возбуждения (С V, O V и O IV) силь-

но падают, а с низкими уровнями возбуждения (С III, О III и О II) повышаются.

Следует заметить, что параметры плазмы при ВЧ-увлечении тока в токамаке существенно изменяются по сравнению с омическим режимом разряда. Происходит в целом охлаждение плазмы и уплощение профиля концентрации. Последнее продемонстрировано на рис. 8. Типичная зависимость ионного тока насыщения I_s^+ от времени на различных радиусах плазмы представлена на рис. 8, а. Обработка этих данных дала возможность построить распределение по радиусу ионного тока насыщения для различных моментов развития разряда: t_1 соответствует моменту времени, когда закорачивается тиристором первичная обмотка трансформатора вихревого поля, т. е. омическому режиму разряда; t_2 — режиму распада плазмы перед самым включением ВЧ-мощности и t_3 — стационарной фазе ВЧ-увлечения тока. Из рис. 8, б видно, что во время распада плазмы профиль ионного тока насыщения уплощается и при ВЧ-увлечении тока происходит ее незначительное обострение.

По-видимому, в период ВЧ-увлечения тока кроме уплощения профиля концентрации происходит и уплощение профиля тока, т. е. увеличение плотности тока на периферии плазменного шнуря по сравнению с исходным пикированным профилем в омическом разряде. На это указывает сильная зависимость тока и напряжения плазмы от величины вертикального магнитного поля компенсации, т. е. от горизонтального положения шнуря (рис. 9). Имеется некое оптимальное положение шнуря, когда эффект увлечения тока максимален. По-видимому, смещение шнуря от оптимального положения наружу приводит к контакту токового слоя плазмы с диафрагмой и развалу плазмы, а смещение вовнутрь, кроме того, к удалению плазмы от грилла и уменьшению связи. Аналогичный эффект повышения «чувствительности» шнуря к малым смещениям при вводе ВЧ-мощности отмечен в [13].

Из наших экспериментальных данных следует также, что существует пороговое значение концентрации плазмы, ниже которого эффект ВЧ-увлечения тока пропадает. Это иллюстрируется рис. 10. ВЧ-мощность инжектировалась в распадающуюся плазму при различных значениях ее концентрации. Видно, что при $\bar{n}_e = 2 \cdot 10^{18} \text{ м}^{-3}$ еще наблюдается эффективное увлечение тока, а при $\bar{n}_e < 2 \cdot 10^{18} \text{ м}^{-3}$ эффект увлечения пропадает. Естественно предположить, что причиной этого является сильное ухудшение связи грилла с плазмой при низких концентрациях.

И, наконец, следует обратить внимание на тот факт, что в период ВЧ-увлечения тока в разнообразных его режимах (см. рис. 3, 6, 7 и 10) концентрация плазмы имеет явную тенденцию к стабилизации и ее значение устанавливается опять-таки на уровне $\bar{n}_e \approx 2 \cdot 10^{18} \text{ м}^{-3}$.

Выходы

Таким образом, проведенные на токамаке КАСТОР эксперименты продемонстрировали возможность эффективной генерации тороидального тока с помощью нижнетибридных волн, возбуждаемых многоступенчатым гриллом.

Установлено, что эффективность увлечения тока $\sim 0,5 \text{ A} \cdot \text{Вт}^{-1}$. В период ВЧ-увлечения тока происходит уплощение профиля концентрации и, по-видимому, также уплощение профиля тока. Существует порог как по плотности ($\bar{n}_e \approx 2 \cdot 10^{18} \text{ м}^{-3}$), так и по ВЧ-мощности ($P_e \approx 8 \text{ кВт}$), ниже которого эффект увлечения пропадает. Обнаружен также эффект стабилизации концентрации плазмы на уровне $\bar{n}_e \approx 2 \cdot 10^{18} \text{ м}^{-3}$ при ВЧ-увлечении тока в токамаке.

Литература

1. Thonemann P. C., Cowhig W. T., Davenport P. A. // Nature. 1952. V. 169. P. 34.
2. Klima R. // Plasma Phys. 1973. V. 15. P. 1031.
3. Fisch N. J. // Phys. Rev. Lett. 1978. V. 41. P. 873.
4. Karney C. F. F., Fisch N. J. // Nucl. Fus. 1981. V. 21. P. 1549.
5. Параил В. В., Переверзев Г. В. // Физика плазмы. 1983. Т. 9. С. 585.
6. Yamamoto T., Imai T., Shimada M. et al. // Phys. Rev. Lett. 1980. V. 45. P. 716.
7. Maekawa T., Saito T., Nakamura M. et al. // Phys. Rev. Lett. 1981. V. 55A. P. 339.
8. Nakamura M., Cho T., Kubo S. et al. // Phys. Rev. Lett. 1981. V. 47. P. 1902.
9. Ohkubo K., Takamura S., Kawahata K. et al. // Nucl. Fus. 1982. V. 22. P. 203.
10. Luchardt C. S., Porkolab M., Knowlton S. F. et al. // Phys. Rev. Lett. 1982. V. 48. P. 452.
11. Bernabei S., Dauhney C., Efthimion P. et al. // Phys. Rev. Lett. 1982. V. 49. P. 1255.
12. Porkolab M., Schuss J., Takase Y. // Plasma Phys. and Contr. Nucl. Fus. Res. 1982. (Baltimore). IAEA: Vienna, 1983. V. 1. P. 227.
13. Будников В. Н., Герасименко Г. В., Дьяченко В. В. и др. // Физика плазмы. 1984. Т. 10. С. 485.
14. Аликаев В. В., Гвоздиков Ю. В., Дятлов И. и др. // Физика плазмы. 1985. Т. 11. С. 53.
15. Brambilla M. // Nucl. Fus. 1976. V. 16. P. 47.
16. Cormezano C., Briand P., Briffod G. et al. // Nucl. Fus. 1985. V. 25. P. 419.
17. Porkolab M. // Phys. Fluids. 1977. V. 20. P. 2058.
18. Porkolab M., Bernabei S., Hooke W. M. et al. // Phys. Rev. Lett. 1977. V. 38. P. 230.

Институт физики АН ГССР
Институт физики плазмы АН ЧССР

Поступила в редакцию
22.IX.1986
Исправленный вариант
получен 15.VI.1987

УДК 533.9.07

**ЗАВИСИМОСТИ ВРЕМЕНИ УДЕРЖАНИЯ ЭНЕРГИИ
ОТ ПЛОТНОСТИ, КОЭФФИЦИЕНТА ЗАПАСА УСТОЙЧИВОСТИ
И БОЛЬШОГО РАДИУСА ШНУРА В ТОКАМАКЕ «Т-13»**

АБРАМОВ А. В., БЕЛАШОВ В. И., БОРТНИКОВ А. В.,
БРЕВНОВ Н. И., ГЕРАСИМОВ С. И.

1. Электронная теплопроводность в токамаках имеет аномальный характер и превосходит примерно на два порядка величины неоклассическое значение [1]. Из-за отсутствия ясного понимания этого явления приходится использовать эмпирические зависимости времени удержания τ_E от параметров плазменного шнура. Различные зависимости τ_E от геометрических параметров q , a и R , обнаруженные в экспериментах, указывают на конкуренцию различных физических процессов, определяющих перенос энергии в токамаке. В данной работе приводятся результаты экспериментов, выполненных на установке «Т-13» по исследованию зависимости времени удержания энергии в электронной компоненте τ_E от различных параметров плазменного шнура, в том числе и от большого радиуса шнура R .

2. Отличительной особенностью установки токамак «Т-13» является вытянутая вдоль большого радиуса вакуумная камера прямоугольного сечения. Это позволяет в довольно широких пределах изменять большой радиус плазменного шнура и провести эксперименты по непосредственному измерению зависимости времени удержания энергии в электронной компоненте от большого радиуса. Меридиональное сечение вакуумной камеры и некоторые из диагностик показаны на рис. 1. Подробное описание конструкции установки «Т-13» можно найти в [2–4].

Максимальное тороидальное магнитное поле на радиусе $R=40$ см составляло $B_t=14$ кГс, что при малом радиусе шнура $a=7,5$ см и $q=3$ позволяло получать под внутренним диагностическим окном ($R=40$ см) ток $J_p \approx 30$ кА, а под средним окном ($R=58$ см) ток $J_p=16$ кА. Средняя по сечению плотность электронов $\langle n \rangle$ изменялась от $2 \cdot 10^{12}$ до $2 \cdot 10^{13}$ см $^{-3}$. Энергетическое время жизни электронов определялось на квазистационарной стадии разряда из соотношения

$$\frac{6\pi^2 \int_0^a n T_e r dr}{\tau_E} = J_p U - P_{rad},$$

где U — напряжение на обходе, P_{rad} — мощность потерь с излучением. Измеренный профиль плотности близок к параболическому. Центральная температура электронов определялась по мягкому рентгеновскому излучению методом фильтров [5] и по спектру рентгеновского излучения, измеренному с помощью пятиканального фотоэлектронного спектрометра [6]. На рис. 2 приведено сравнение центральной температуры электронов, измеренной по проводимости плазмы (в предположении параболического профиля температуры и эффективного заряда ионов $Z \approx 1$), с измерениями по мягкому рентгеновскому излучению. В широкой области изменения параметров $\langle n \rangle$, q и R наблюдается соответствие между T_{e0} по рентгеновским измерениям и по проводимости плазмы. В нашем случае при не-